

Crystal structure and electrochemical hydrogenation of $\text{HfRe}_{2-x}\text{Al}_x$ phases

Liana ZINKO^{1*}

¹ Department of Inorganic Chemistry, Ivan Franko National University of Lviv,
Kyryla i Mefodiya St. 6, 79005 Lviv, Ukraine

* Corresponding author. Tel.: +380-32-2394506; e-mail: lianazinko@gmail.com

Received November 10, 2021; accepted December 29, 2021; available on-line April 1, 2022
<https://doi.org/10.30970/cma14.0428>

Crystal structures of the phases $\text{HfRe}_{0.88(1)}\text{Al}_{1.12(1)}$ and $\text{HfRe}_{0.26(1)}\text{Al}_{1.74(1)}$ (from the solid solutions based on HfRe_2 and HfAl_2) were determined from X-ray powder diffraction: structure type MgZn_2 , Pearson symbol $hP12$, space group $P6_3/mmc$, $a = 5.2443(2)$, $c = 8.5281(4)$ Å and $a = 5.2545(3)$, $c = 8.5660(4)$ Å, respectively. The ability to electrochemical hydrogenation of samples from the regions of existence of $\text{HfRe}_{2-x}\text{Al}_x$ solid solutions was established. It was determined that the largest discharge capacity (68 mA·h/g) is observed in the prototype battery with an electrode based on the $\text{Hf}_{30}\text{Re}_{15}\text{Al}_{55}$ alloy.

Hafnium / Rhenium / Aluminum / X-ray powder diffraction / Solid solution / Crystal structure / Electrochemical hydrogenation

Кристалічна структура та електрохімічне гідрування фаз $\text{HfRe}_{2-x}\text{Al}_x$

Ліана ЗІНЬКО^{1*}

¹ Кафедра неорганічної хімії, Львівський національний університет імені Івана Франка
вул. Кирила і Мefодія, 6, UA-79005 Львів, Україна

* Контактна особа. Тел.: +380-32-2394506; e-mail: lianazinko@gmail.com

На основі масивів рентгенівських порошкових дифракційних даних визначено параметри кристалічної структури фаз $\text{HfRe}_{0.88(1)}\text{Al}_{1.12(1)}$ і $\text{HfRe}_{0.26(1)}\text{Al}_{1.74(1)}$ (з областей твердих розчинів на основі HfRe_2 і HfAl_2): структурний тип MgZn_2 , символ Пірсона $hP12$, просторова група $P6_3/mmc$, $a = 5,2443(2)$, $c = 8,5281(4)$ Å і $a = 5,2545(3)$, $c = 8,5660(4)$ Å, відповідно. Встановлено здатність до електрохімічного гідрування зразків з областей існування твердих розчинів $\text{HfRe}_{2-x}\text{Al}_x$. Визначено, що найбільша розрядна ємність (68 mA·год/г) спостерігається у прототипа акумулятора з електродом на основі сплаву $\text{Hf}_{30}\text{Re}_{15}\text{Al}_{55}$.

Гафній / Реній / Алюміній / Рентгенівський дифракційний метод порошку / Твердий розчин / Кристалічна структура / Електрохімічне гідрування

Вступ

Сполуки зі структурами фаз Лавеса – типи MgCu_2 (символ Пірсона $cF24$, просторова група $Fd-3m$), MgZn_2 ($hP12$, $P6_3/mmc$) та MgNi_2 ($hP24$, $P6_3/mmc$) – існують переважно у подвійних системах двох

перехідних металів чи перехідного металу і p -елемента, а також у відповідних потрійних системах [1, 2]. У системах {Ti, Zr, Hf}–{Mn, Re}–Al відомі такі фази Лавеса зі структурою типу MgZn_2 : TiMn_2 ($a = 4,8294$, $c = 7,9309$ Å [3]), ZrMn_2 ($a = 5,035$, $c = 8,276$ Å [4]), HfMn_2 ($a = 5,002$,

$c = 8,205 \text{ \AA}$ [5]), ZrRe_2 ($a = 5,260$, $c = 8,621 \text{ \AA}$ [6]), HfRe_2 ($a = 5,239$, $c = 8,584 \text{ \AA}$ [7]), ZrAl_2 ($a = 5,281$, $c = 8,742 \text{ \AA}$ [8]), HfAl_2 ($a = 5,250$, $c = 8,684 \text{ \AA}$ [9]), TiMnAl ($a = 4,978$, $c = 8,151 \text{ \AA}$ [10]), ZrMnAl ($a = 5,250$, $c = 8,479 \text{ \AA}$ [10]), HfMnAl ($a = 5,160$, $c = 8,422 \text{ \AA}$ [10]).

Мета цієї праці – визначення кристалічної структури і гідрогенсорбційних властивостей фаз $\text{HfRe}_{2-x}\text{Al}_x$ – твердих розчинів заміщення на основі HfRe_2 та HfAl_2 .

Методика експерименту

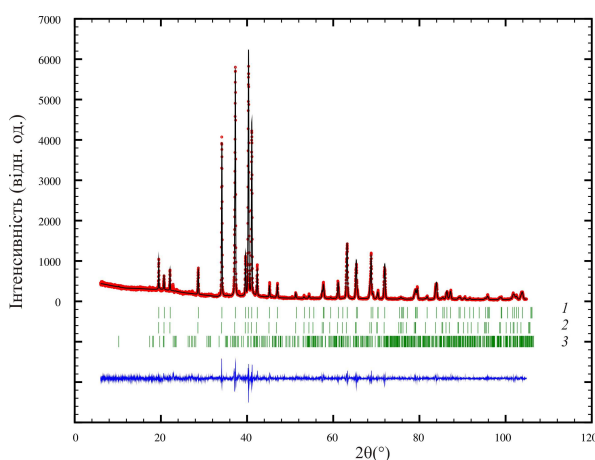
Електродуговим сплавленням шихти металів високої чистоти ($\text{Hf} \geq 99,9$ мас.%, $\text{Re} \geq 99,9$ мас.%, $\text{Al} \geq 99,999$ мас.%) виготовляли зразки для дослідження. Порошковий реній пресували у таблетки безпосередньо перед сплавленням. У випадку, коли втрати під час сплавлення не перевищували 1 мас.%, то вважали, що склад сплавів дорівнює складу шихти. Потім зразки піддавали гомогенізаційному відпалюванню у вакуумованих кварцових ампулах за температури 1000°C впродовж тижня з наступним загартовуванням у холодній воді. Зразки, як литі, так і відпалені, стійкі до дії атмосферного середовища впродовж тривалого часу.

Рентгенограми отримували з використанням порошкових дифрактометрів ДРОН-2.0М ($\text{Fe K}\alpha$ проміння) і STOE Stadi P ($\text{Cu K}\alpha_1$ проміння). Мікроструктури поверхонь сплавів досліджували на скануючому електронному мікроскопі Tescan Vega 3 LMU, оснащеному детектором Oxford Instruments SDD X-Max^N20. Для фазового аналізу та визначення структури розрахунків використовували програми STOE WinXPOW [11] і FullProf Suite [12].

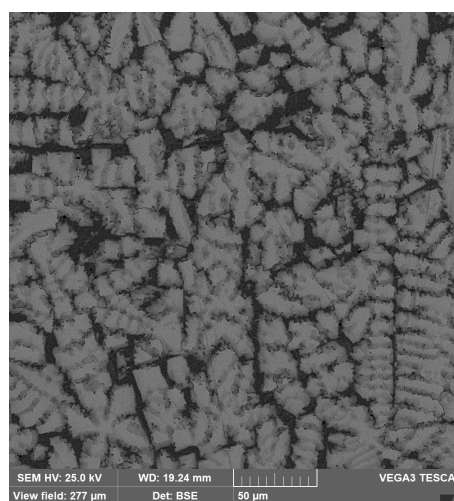
Дослідження ефективності електрохімічного гідрування зразків проводили в прототипах хімічних джерел енергії Swagelok-cell. Подрібнений сплав змішували з електролітом до однорідної маси та заповнювали простір анодної частини акумулятора. У катодній частині акумулятора розміщали змочену електролітом суміш нікель(II) гідроксиду та графіту (90 та 10 мас.%, відповідно). Графіт додавали для покращення провідності. У зібраному вигляді електроди відокремлювали сепаратором, змоченим 6 М розчином КОН. Зразки тестували в гальваностатичному режимі впродовж 30 циклів заряду-розряду: заряд акумулятора проводили при 0,8 мА, а розряд – при 0,2 мА до повного насичення матеріалу анода водородом. Для отримання заряд-розрядних кривих використовували аналогово-цифровий модуль з автоматичною реєстрацією сигналу. Кількість поглинутого водороду обчислювали за законом Фарадея.

Результати та обговорення

За 1000°C у системі Hf-Re-Al [13] простежується існування двох обмежених твердих розчинів заміщення $\text{HfRe}_{2-x}\text{Al}_x$ зі структурою типу MgZn_2 . Їхня особливість полягає у тому, що бінарні сполуки HfRe_2 [7] і HfAl_2 [9] мають близькі значення параметрів елементарної комірки та координат атомів. Для підтвердження заміщення атомів Re атомами Al (і навпаки) виконано уточнення кристалічної структури фаз у зразку складу $\text{Hf}_{25}\text{Re}_{25}\text{Al}_{50}$. На дифрактограмі наявні відбиття обох фаз (рисунки 1). Підтвердженням існування двох близьких за складом і однакових за структурою фаз є результати локального рентгеноспектрального аналізу (рисунки 2).



Рисунки 1 Дифрактограма зразка складу $\text{Hf}_{25}\text{Re}_{25}\text{Al}_{50}$ ($\text{Cu K}\alpha_1$ проміння). Вертикальні штрихи вказують положення піків для фаз: $\text{HfRe}_{0,88}\text{Al}_{1,12}$ (1), $\text{HfRe}_{0,26}\text{Al}_{1,74}$ (2) та $\text{Re}_4\text{Al}_{11}$ (3).



Рисунки 2 Фотографія шліфа зразка складу $\text{Hf}_{25}\text{Re}_{25}\text{Al}_{50}$: світла фаза – $\text{HfRe}_{0,88}\text{Al}_{1,12}$, сіра фаза – $\text{HfRe}_{0,26}\text{Al}_{1,74}$, темні включення – $\text{Re}_4\text{Al}_{11}$.

Деталі експерименту і результати уточнення кристалічної структури фаз узагальнено в **таблиці 1**, у **таблицях 2-3** наведено координати атомів у цих структурах. Параметри елементарної комірки фаз для складів $\text{HfRe}_{0,88}\text{Al}_{1,12}$ і $\text{HfRe}_{0,26}\text{Al}_{1,74}$ збільшуються пропорційно до збільшення вмісту алюмінію, відповідно до розмірів атомів ($r_{\text{Hf}} = 1,56 \text{ \AA}$, $r_{\text{Re}} = 1,37 \text{ \AA}$, $r_{\text{Al}} = 1,43 \text{ \AA}$ [14]).

Кристалічна структура обох фаз належить до родини фаз Лавеса, а координаційне оточення атомів гафнію і статистичних сумішей Re/Al є характерним для структур такого типу (**рисунок 3**). Атоми Hf знаходяться в центрах 16-вершинників Франка-Каспера, тоді як атоми Re та Al центрують ікосаедри.

Фази Лавеса піддаються оборотному гідруванню/дегідруванню з незначною зміною параметрів елементарної комірки. З метою

дослідження впливу співвідношення вмісту ренію і алюмінію на гідрогенсорбційні властивості фаз твердих розчинів $\text{HfRe}_{2-x}\text{Al}_x$ виготовлено і досліджено здатність до електрохімічного гідрування трьох зразків, $\text{Hf}_{32}\text{Re}_{53}\text{Al}_{15}$, $\text{Hf}_{30}\text{Re}_{15}\text{Al}_{55}$ і $\text{Hf}_{30}\text{Re}_{10}\text{Al}_{60}$. Дифрактограму зразка $\text{Hf}_{30}\text{Re}_{15}\text{Al}_{55}$ до і після гідрування зображено на **рисунок 4**.

Розподіл елементів на поверхні електродного матеріалу на основі зразка $\text{Hf}_{30}\text{Re}_{15}\text{Al}_{55}$ представлено на **рисунок 5**. Слід зазначити, що деякі ділянки протравлені розчином електроліту, і видно темні ділянки (більший вміст кисню), що, можливо, зумовлене утворенням аморфного $\text{Al}(\text{OH})_3$. За умов експерименту простежується збереження кристалічної структури твердих розчинів та часткова аморфізація матеріалу електродів (**рисунок 6**).

Таблиця 1 Деталі експерименту та кристалографічні характеристики фаз $\text{HfRe}_{2-x}\text{Al}_x^*$.

Склад фази	$\text{HfRe}_{0,88(1)}\text{Al}_{1,12(1)}$	$\text{HfRe}_{0,26(1)}\text{Al}_{1,74(1)}$
Вміст, мас.%	75,7	23,9
Структурний тип	MgZn_2	MgZn_2
Символ Пірсона	<i>hP12</i>	<i>hP12</i>
Кількість формульних одиниць Z	4	4
Просторова група	$P6_3/mmc$	$P6_3/mmc$
Дифрактометр	STOE Stadi P	
Проміння, довжина хвилі, Å	Cu $K\alpha_1$, 1,54056	
Межі 2θ , °	6,00-104,865	
Крок 2θ , °, час знімання, с	0,015, 300	
Параметри елементарної комірки, Å	$a = 5,2443(2)$ $c = 8,5281(4)$	$a = 5,2545(3)$ $c = 8,5660(4)$
Об'єм елементарної комірки V , Å^3	203,12(1)	204,82(2)
Густина, г/см^3	12,19	8,898
Параметри профілю U , V , W	0,091(3), 0,015(1), 0,007(1)	
Фактори розбіжності R_p , R_{wp}	0,0779, 0,103	
Фактор розбіжності R_B	0,0299	0,0494

*Вміст фази $\text{Re}_4\text{Al}_{11}$ (структура типу $\text{Mn}_4\text{Al}_{11}$, $aP15$, $P-1$, $a = 5,172$, $b = 5,154$, $c = 8,959 \text{ \AA}$, $\alpha = 74,83$, $\beta = 90,43$, $\gamma = 80,24^\circ$ [15]) становить < 1 мас.%.

Таблиця 2 Координати і параметри зміщення атомів у структурі $\text{HfRe}_{0,88(1)}\text{Al}_{1,12(1)}$ (*hP12*, $P6_3/mmc$).

Атом	ПСТ	x	y	z	B_{iso} , Å^2
Hf	$4f$	1/3	2/3	0,5629(2)	0,46(1)
$M1^*$	$2a$	0	0	0	0,15(1)
$M2^{**}$	$6h$	0,1700(5)	0,3400(5)	1/4	0,29(1)

* $M1 = 0,385(1)\text{Re} + 0,615(1)\text{Al}$; ** $M2 = 0,459(1)\text{Re} + 0,541(1)\text{Al}$

Таблиця 3 Координати і параметри зміщення атомів у структурі $\text{HfRe}_{0,26(1)}\text{Al}_{1,74(1)}$ (*hP12*, $P6_3/mmc$, $B_{\text{overall}} = 0,024(2) \text{ \AA}^2$).

Атом	ПСТ	x	y	z
Hf	$4f$	1/3	2/3	0,5644(3)
$M1^*$	$2a$	0	0	0
$M2^{**}$	$6h$	0,1698(17)	0,3396(17)	1/4

* $M1 = 0,155(1)\text{Re} + 0,845(1)\text{Al}$; ** $M2 = 0,124(1)\text{Re} + 0,876(1)\text{Al}$

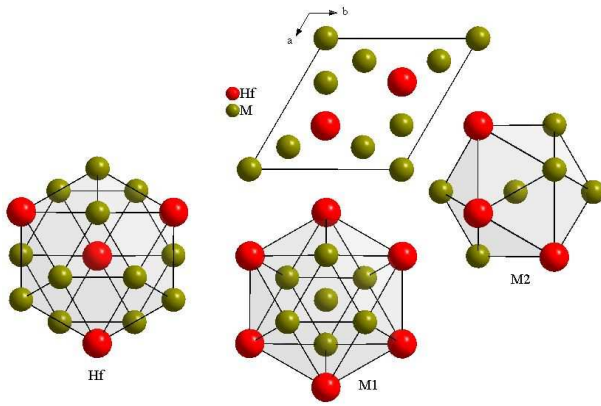


Рисунок 3 Проекція кристалічної структури фази $\text{HfRe}_{0,88}\text{Al}_{1,12}$ на площину ab і координаційні поліедри атомів $\text{HfM}_{12}\text{Hf}_4$ та MM_6Hf_6 .

На **рисунку 7** зображено зарядні та розрядні криві 10 циклу після активації матеріалу) для прототипу хімічного джерела електричної енергії з анодом на основі досліджених сплавів. Електрод на основі сплаву складу $\text{Hf}_{30}\text{Re}_{10}\text{Al}_{60}$ характеризується більшою питомою розрядною ємністю (62 $\text{mA}\cdot\text{год}/\text{г}$) та вищою номінальною розрядною напругою 1,35 В, ніж електрод на основі $\text{Hf}_{32}\text{Re}_{53}\text{Al}_{15}$ ($C_m = 59 \text{ mA}\cdot\text{год}/\text{г}$, $E = 1,24 \text{ В}$). Найбільша корозійна активність як і найкраща розрядна ємність ($C_m = 68 \text{ mA}\cdot\text{год}/\text{г}$, $E = 1,35 \text{ В}$) спостерігається у прототипа акумулятора з електродом на основі $\text{Hf}_{30}\text{Re}_{15}\text{Al}_{55}$.

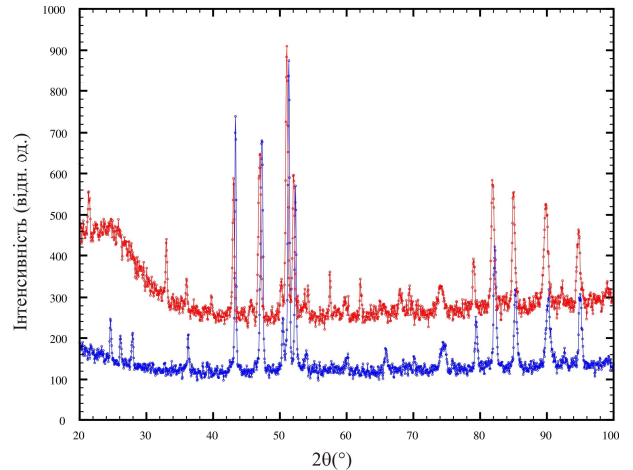


Рисунок 4 Дифрактограма зразка $\text{Hf}_{30}\text{Re}_{15}\text{Al}_{55}$ до (синя) і після (червона) гідрування (Fe $K\alpha$ проміння).

Внаслідок гідрування простежується незначне збільшення параметрів елементарної комірки фаз Лавеса, зокрема в зразку $\text{Hf}_{30}\text{Re}_{15}\text{Al}_{55}$: $a = 5,2568(3) \rightarrow 5,2635(5) \text{ \AA}$, $c = 8,5698(8) \rightarrow 8,5836(13) \text{ \AA}$, яке свідчить про включення атомів водню. Склади одержаних гідридів можна описати формулами: $\text{HfRe}_{1,55}\text{Al}_{0,45}\text{H}_{1,03}$, $\text{HfRe}_{0,43}\text{Al}_{1,57}\text{H}_{0,75}$ і $\text{HfRe}_{0,29}\text{Al}_{1,71}\text{H}_{0,67}$ для сплавів $\text{Hf}_{32}\text{Re}_{53}\text{Al}_{15}$, $\text{Hf}_{30}\text{Re}_{15}\text{Al}_{55}$ і $\text{Hf}_{30}\text{Re}_{10}\text{Al}_{60}$, відповідно. Варто зазначити, що збільшення вмісту алюмінію викликає підвищення номінальної розрядної напруги.

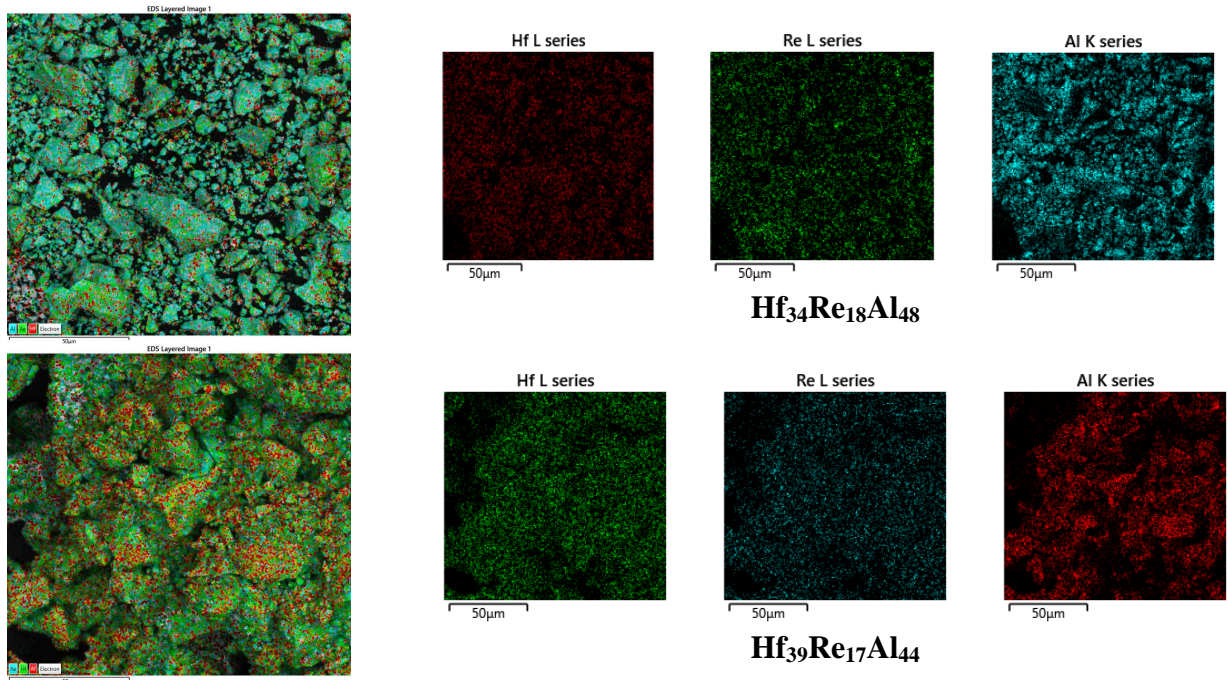


Рисунок 5 Розподіл елементів на поверхні зразка складу $\text{Hf}_{30}\text{Re}_{15}\text{Al}_{55}$ до (згори) і після (знизу) електрохімічного гідрування.

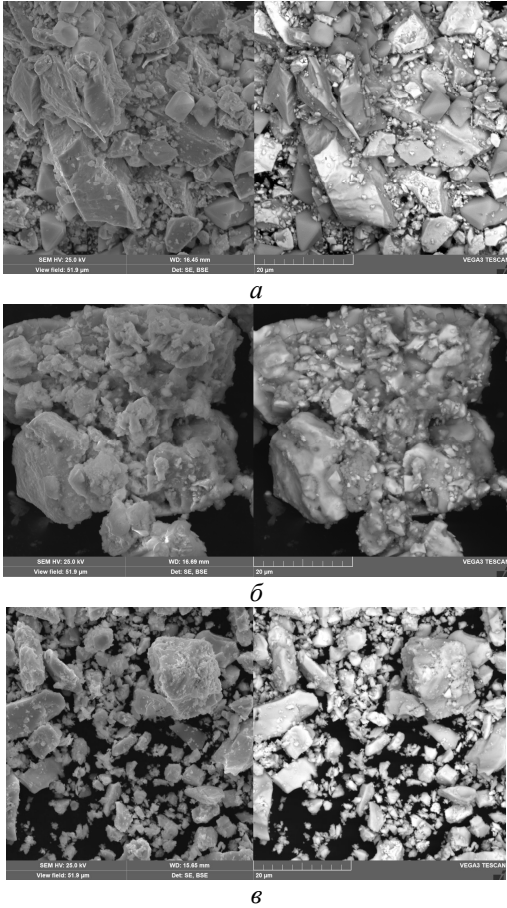


Рисунок 6 Зображення електродів після електрохімічного гідрування зразків $\text{Hf}_{32}\text{Re}_{53}\text{Al}_{15}$ (а), $\text{Hf}_{30}\text{Re}_{15}\text{Al}_{55}$ (б), $\text{Hf}_{30}\text{Re}_{10}\text{Al}_{60}$ (в) (SE детектор – зліва та BSE детектор – справа, збільшення в 5330 разів).

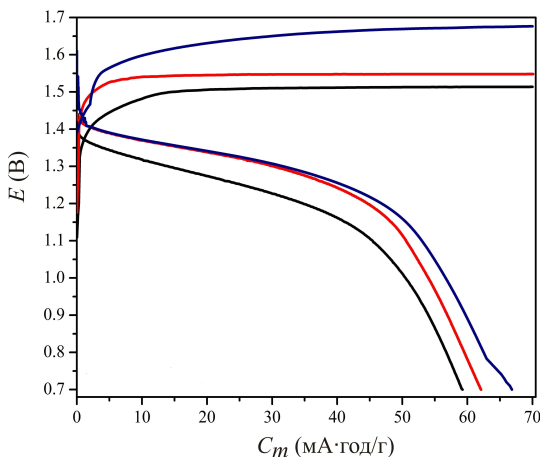


Рисунок 7 Зарядні і розрядні криві після 10 циклу для хімічного джерела електричної енергії з електродами на основі $\text{Hf}_{32}\text{Re}_{53}\text{Al}_{15}$ (чорна), $\text{Hf}_{30}\text{Re}_{15}\text{Al}_{55}$ (синя) і $\text{Hf}_{30}\text{Re}_{10}\text{Al}_{60}$ (червона).

Характер досліджених кривих та отримані електрохімічні параметри добре корелюють із серіями твердих розчинів на основі GdFe_2 та GdMn_2 [16], що кристалізуються у структурі

кубічної фази Лавеса. Включення водню за низьких тисків (електрохімічне гідрування) у структуру фаз Лавеса здійснюється у тетраедричні порожнечі. Включення великих кількостей водню призводить до руйнування вихідної структури та утворення аморфних гідридів на основі компонентів.

Подяка

Авторка вдячна н.сп. В. Кордану за допомогу у виконанні мікроструктурних досліджень та електрохімічному гідруванні зразків.

Літературні посилання

- [1] P. Villars, K. Cenzual (Eds.), *Pearson's Crystal Data – Crystal Structure Database for Inorganic Compounds*, ASM International, Materials Park, OH, USA, Release 2021/22.
- [2] P. Villars, H. Okamoto, I. Savvysuk, K. Cenzual (Eds.), *ASM Alloy Phase Diagram Database*, ASM International, Materials Park OH, USA, Release 2006/2021.
- [3] X.L. Yan, X.Q. Chen, A.V. Grytsiv, P. Rogl, R. Podlucky, H.G. Schmidt, G. Giester, X.Y. Ding, *Intermetallics* 16 (2008) 16-26.
- [4] J.J. Didisheim, K. Yvon, D. Shaltiel, P. Fischer, *Solid State Commun.* 31 (1979) 47-50.
- [5] V.N. Svechnikov, V.V. Pet'kov, *Metallofizika* 64 (1976) 24-27.
- [6] E.M. Sokolovskaya, M.V. Rayevskaya, G.S. Fomin, *Metall.* 6 (1978) 150-153.
- [7] V.B. Compton, B.T. Matthias, *Acta Crystallogr.* 12 (1959) 651-654.
- [8] A. Israel, I. Jacob, J.L. Soubeyroux, D. Fruchart, H. Pinto, M. Melamud, *J. Alloys Compd.* 253/254 (1997) 265-267.
- [9] J.C. Schuster, H. Nowotny, *Z. Metallkd.* 71 (1980) 341-346.
- [10] A.E. Dwight, *J. Less-Common Met.* 34 (1974) 279-284.
- [11] *STOE WinXPOW, Version 1.2*, STOE & CIE GmbH, Darmstadt, 2001.
- [12] J. Rodriguez-Carvajal, *Commission on Powder Diffraction (IUCr), Newsletter* 26 (2001) 12-19.
- [13] Л. Зінько, О. Мацелко, Г. Ничипорук, Р. Гладишевський, *Зб. наук. праць XVIII Наук. конф. «Львівські хімічні читання – 2021»*, Львів, Україна, 2021, с. Н25.
- [14] J. Emsley, *The Elements*, Clarendon Press, Oxford, United Kingdom, 1991, 251 p.
- [15] S. Niemann, W. Jeitschko, *Z. Naturforsch. B* 48 (1993) 1767-1773.
- [16] N.O. Chorna, V.M. Kordan, A.M. Mykhailevych, O.Ya. Zelinska, A.V. Zelinskiy, K. Kluziak, R.Ya. Serkiz, V.V. Pavlyuk, *Voprosy Khimii i Khimicheskoi Tekhnologii* 2 (2021) 139-149.